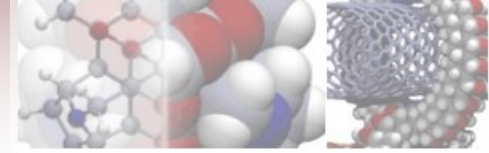


RECENT ADVANCEMENTS IN THE DEVELOPMENT OF A SENSITIVE  
ANALYTICAL PLATFORM BASED ON MAGNETICO-OPTIC SURFACE  
PLASMON RESONANCE

CONTRIBUTII RECENTE LA DEZVOLTAREA UNEI PLATFORME  
ANALITICE SENSIBILE BAZATE PE REZONANTA PLASMONILOR DE  
SUPRAFATA MODULATA PRIN EFECT MAGNETO-OPTIC

Mihaela Gheorghiu

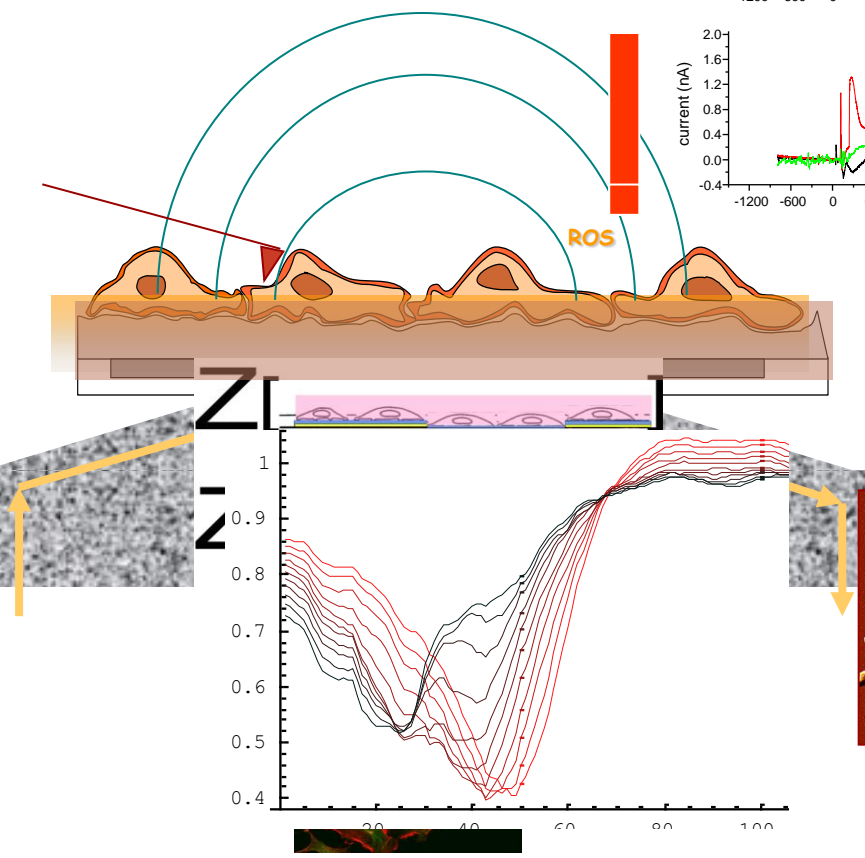
Sorin David, Cristina Polonschii, Dumitru Bratu, Eugen Gheorghiu  
International Centre of Biodynamics, Bucharest



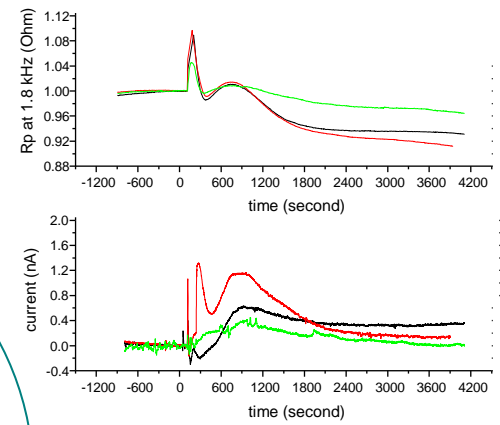
**Dezvoltarea de noi Metode si Instrumentatie ne-invazive  
Methods and Instrumentation  
pentru analiza rapida a biosistemelor  
(Sisteme celulare & Biosenzori)**

# Monitorizare, Detectie: Analiza BioInterfetelor

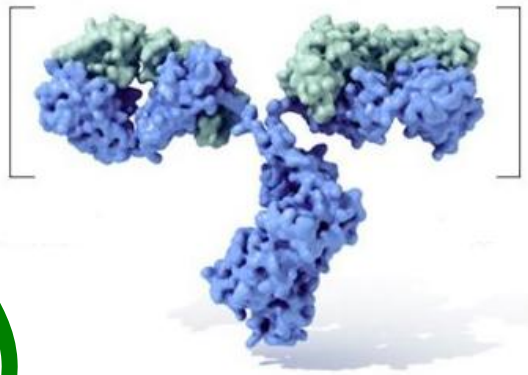
## Sisteme celulare (monostrat)



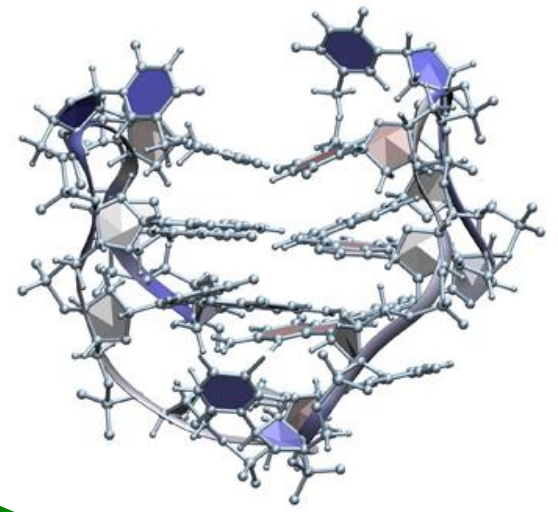
## Interfete

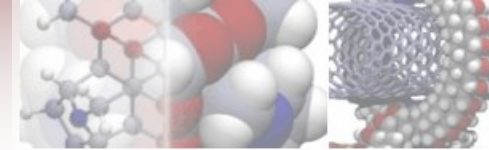


## Reactii bioafine



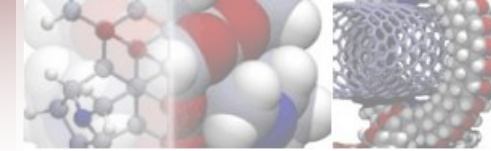
## Procese de interfata





# Infrastructura CIB

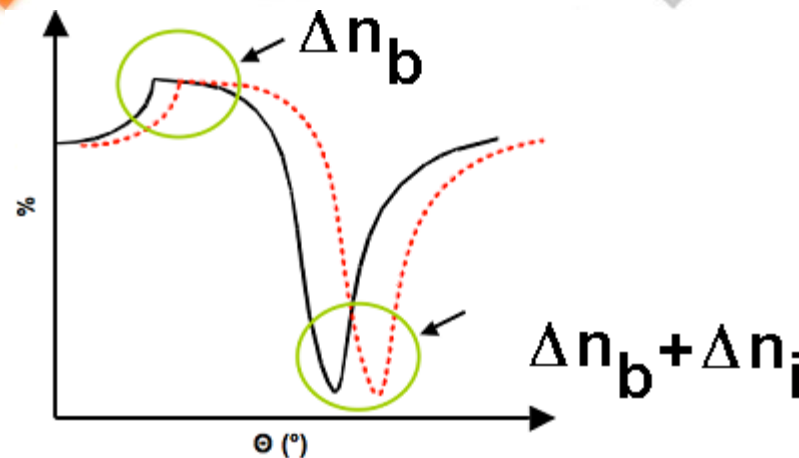
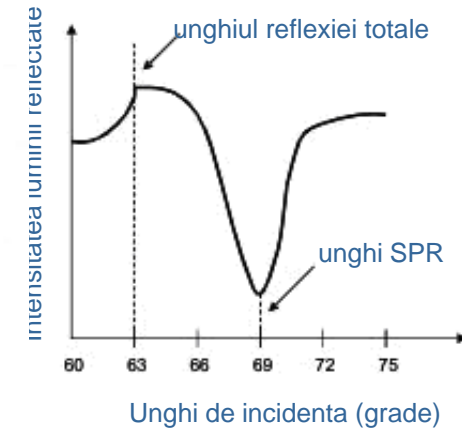
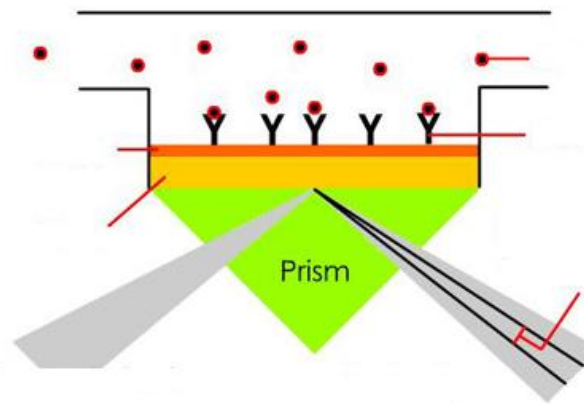
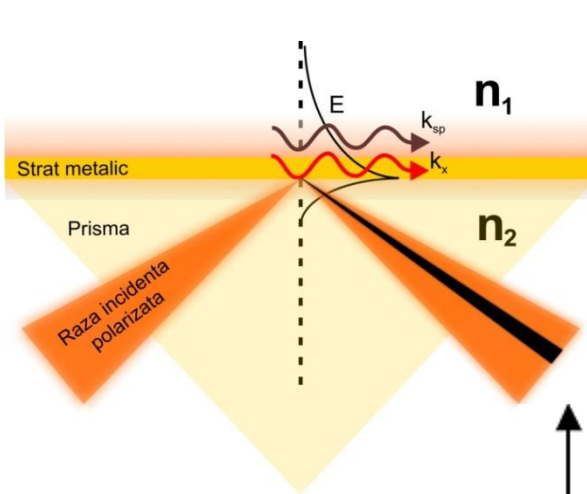


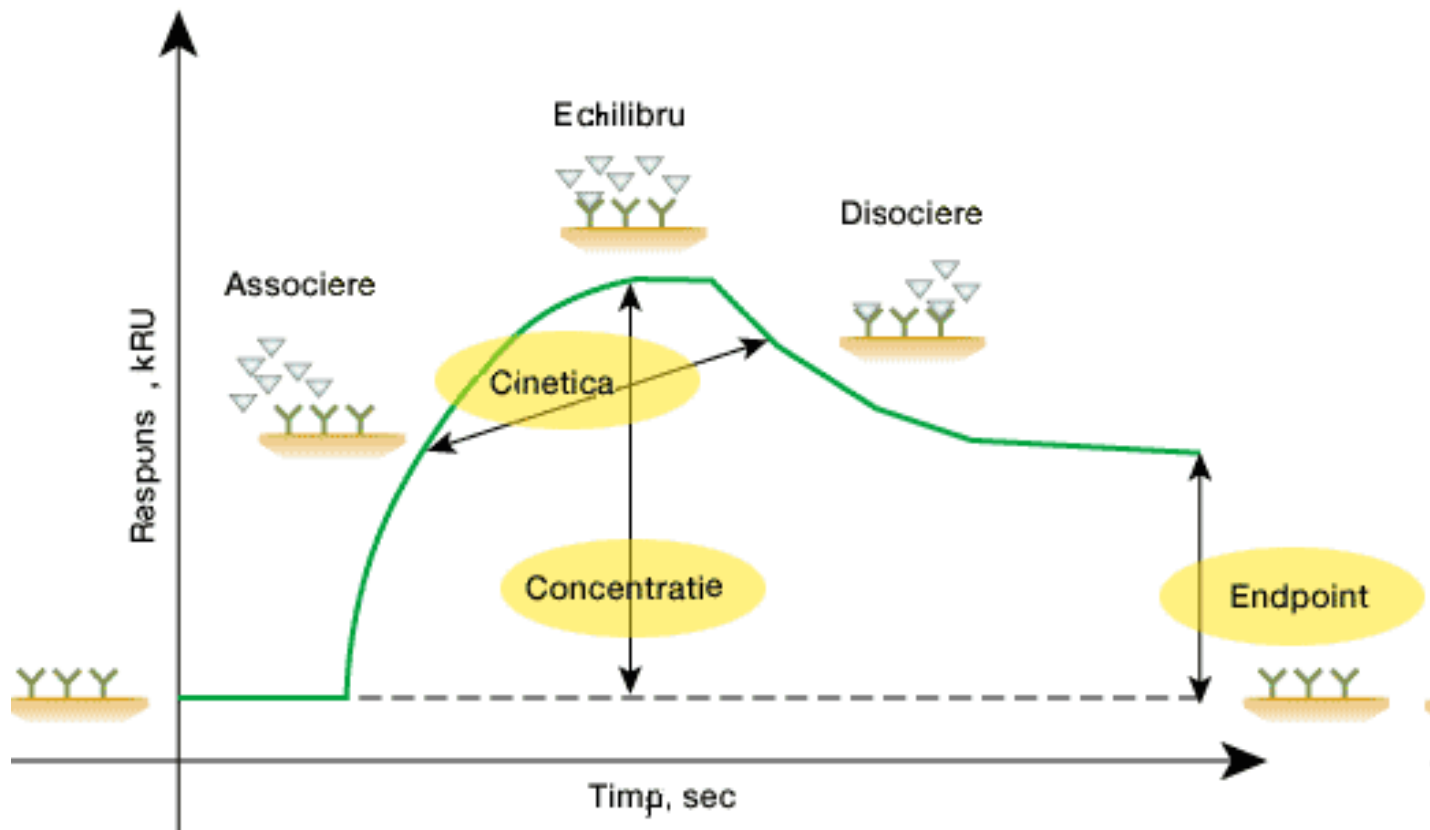
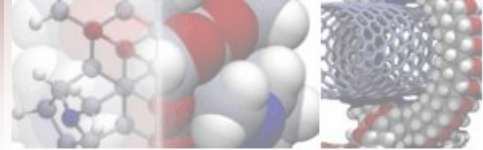


# Metode

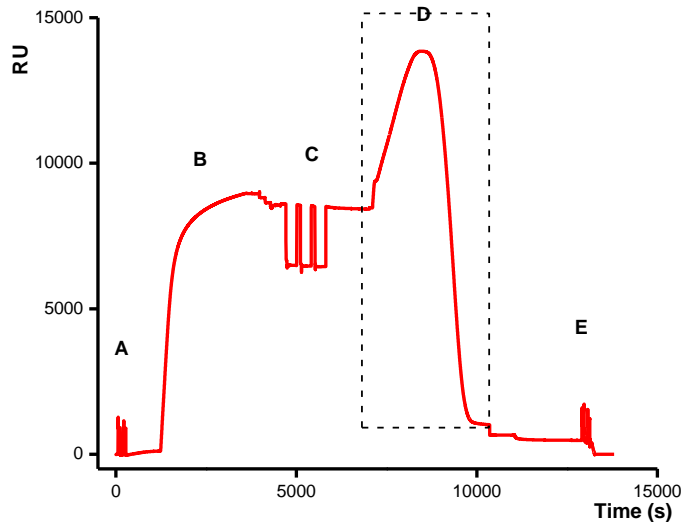
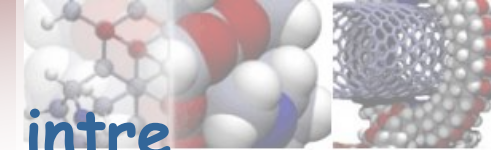
## ■ Rezonanta Plasmonilor de Suprafata

$$\theta = \arcsin \frac{\sqrt{\frac{\epsilon_m^* n_1^2}{\epsilon_m^* + n_1^2}}}{n_2}$$





# Evaluarea procesului multifazic de interactie intre melitina si membranele lipidice



## • Pasii experimentali

- A - curatare suprafata senzor
- B - formarea membranei lipidice (POPC)
- C - indepartarea structurilor slab atasate
- D - interactia melitinei cu membranele lipidice
- E - regenerarea suprafetei senzorului

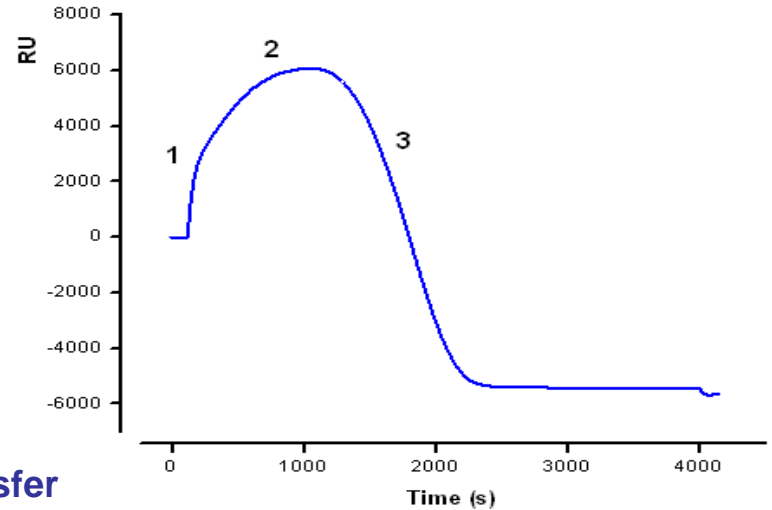
Model cinetic

+

Matrice de transfer



Parametri (cinetici)  
cantitativi



1. Asocierea M-L
2. Insertia M in membrana lipidca
3. Formarea Porilor

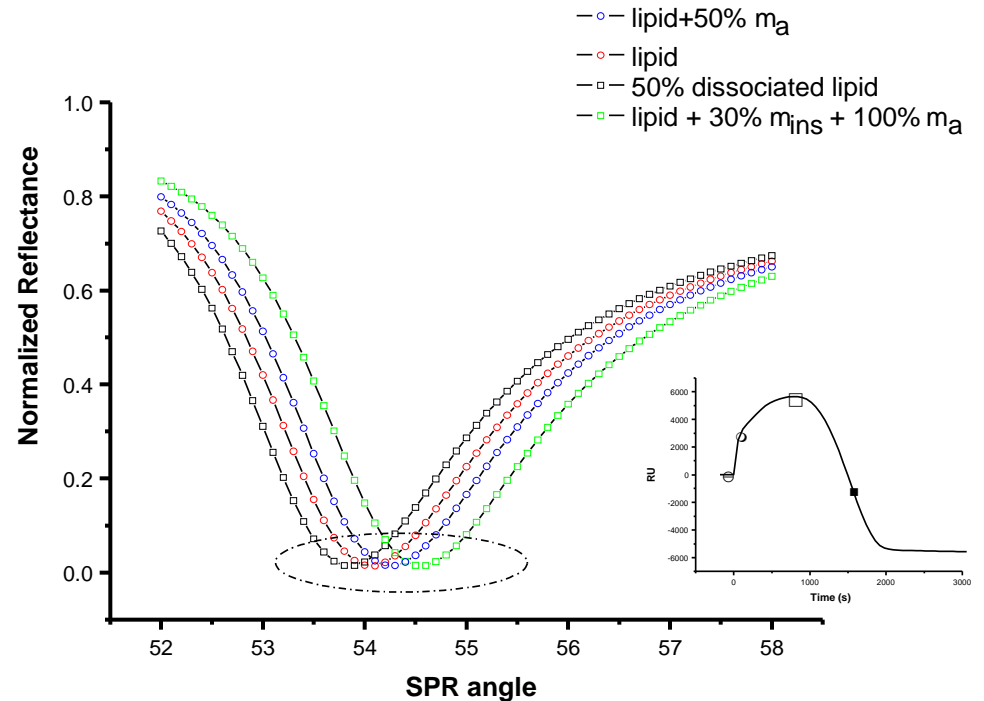
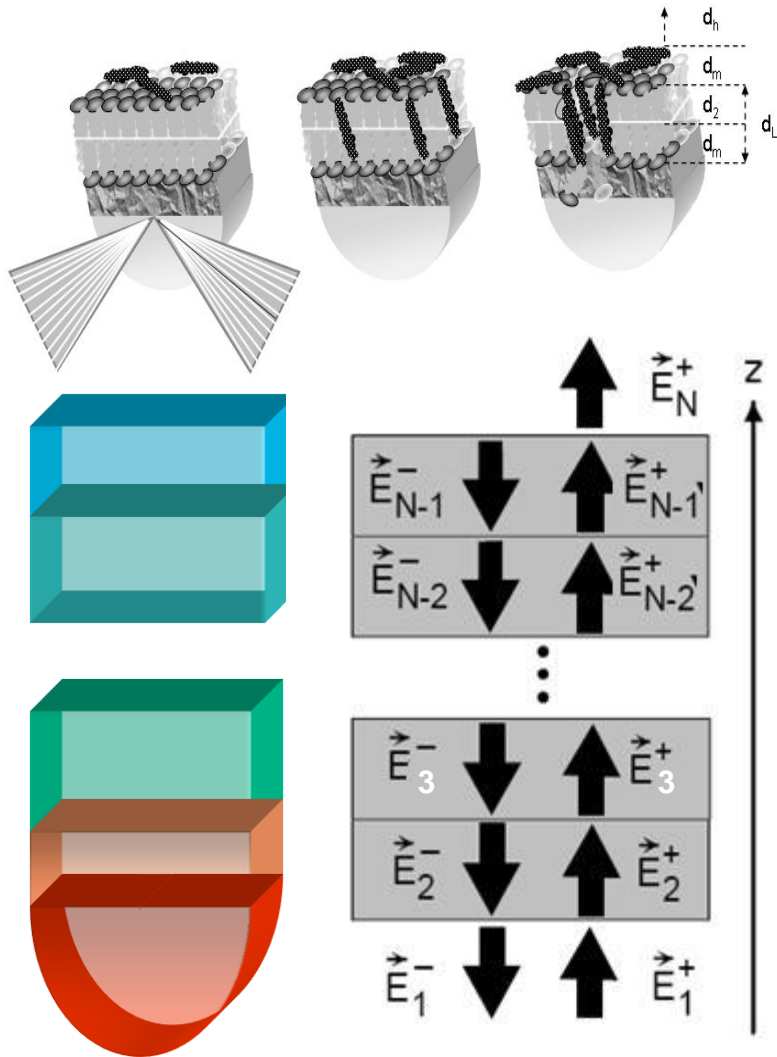
• Constante de asociere

• Constante de disociere

• Valori prag

• Rapoarte P:L

# Determinarea reflectantei unui sistem multistratificat prin abordari de Matrice de Transfer

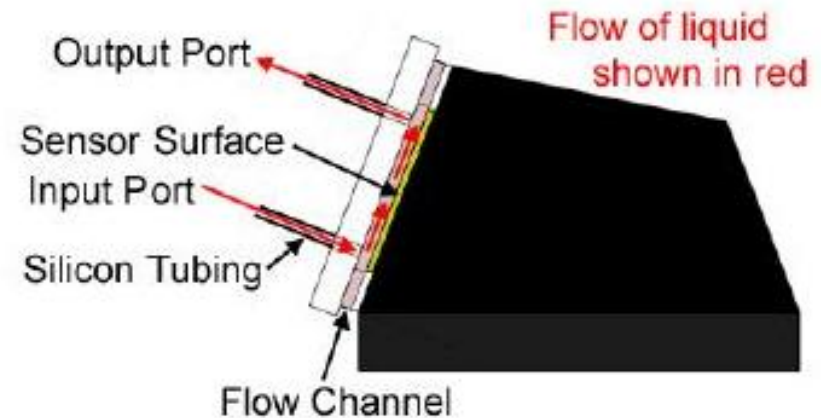
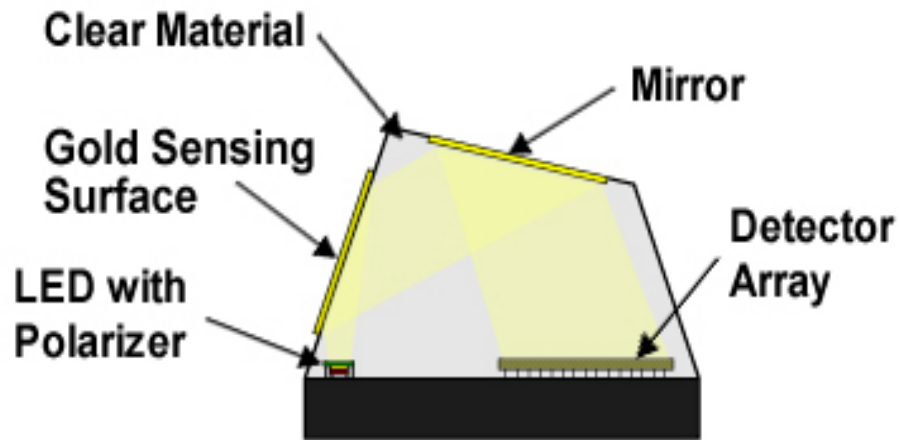
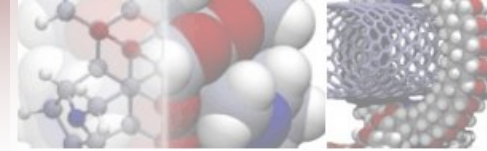


SPR signal of multiple dielectric/metal layers

(2009), J. Phys Chem B 113, 14369–14380

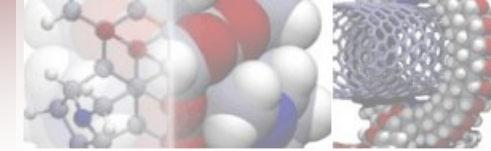
(2009), Biosens. Bioelectron. 24, 3517–3523



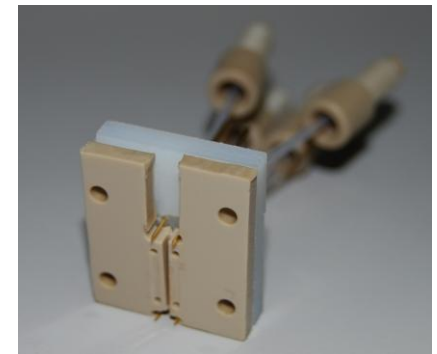
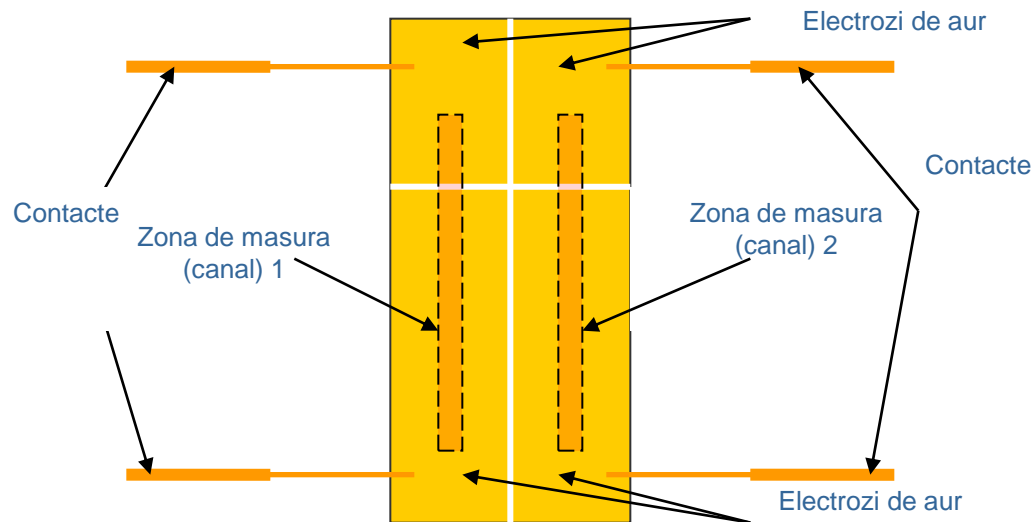


## Caracteristicile senzorului SPREETA TSPR2K23

- Domeniu 1.320 – 1.368 RIU,
- Rezolutie  $3 \times 10^{-6}$  RIU
- Nr. detectori 128
- Lungime de unda 840 nm
- Nr. canale 3



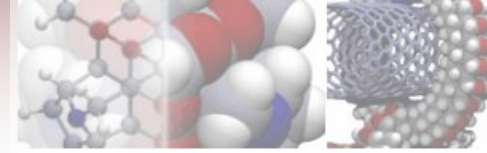
# Set-up combinat Electro-optic



SPR/ impedanta  
celule, proteine, analiti tinta  
platforme de biorecunoastere cu aptameri si anticorpi

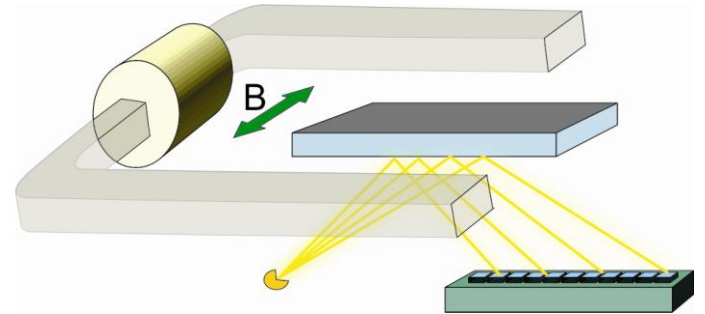
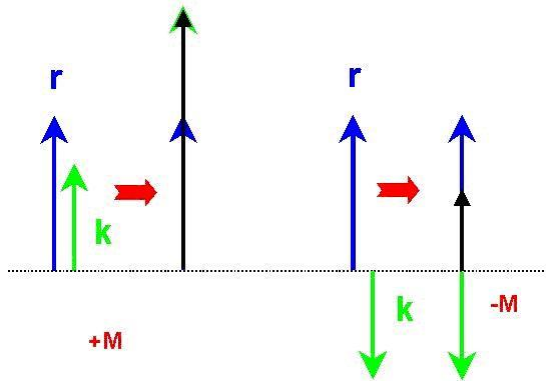
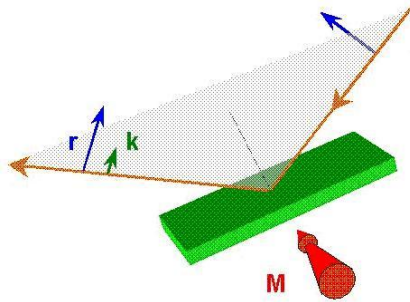
(2010) Talanta 80:2157-64

# Set-up combinat Magneto-optic



- Efect Magneto-optic

Efect Kerr magneto –optic transversal

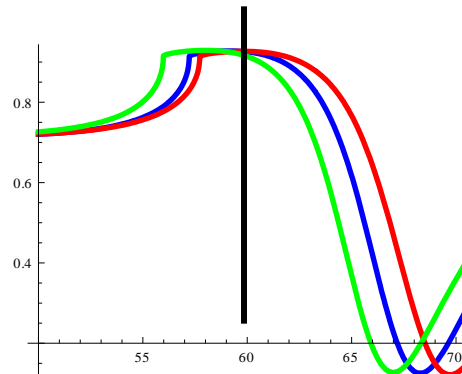
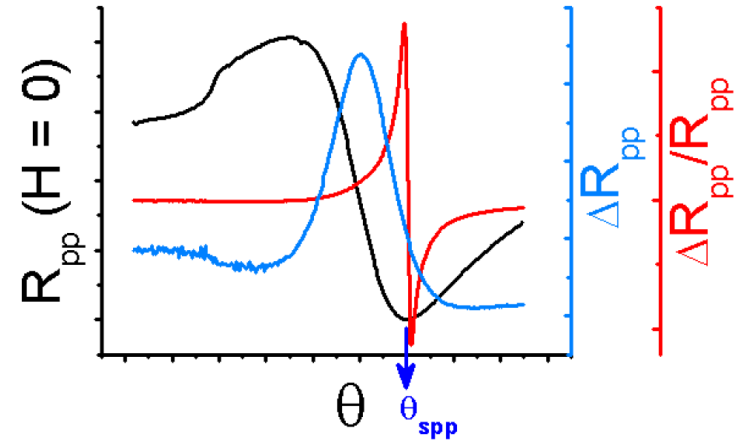
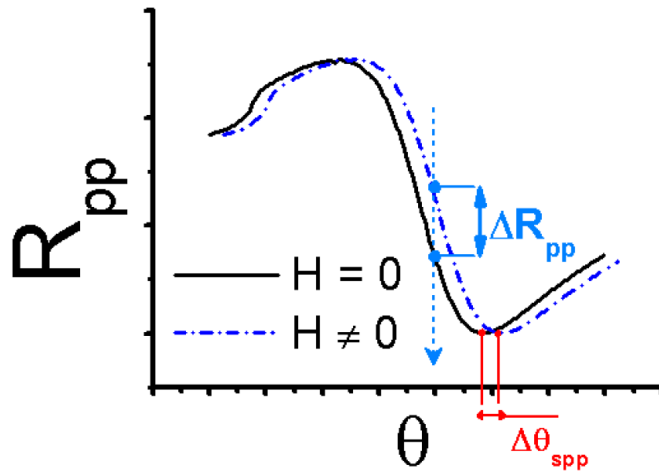
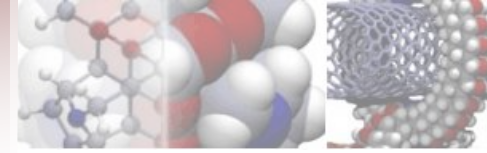


$$\frac{\Delta R_{pp}}{R_{pp}} = \frac{R_{pp}(M) - R_{pp}(-M)}{R_{pp}(0)}$$

- $R_{pp}(M)$  si  $R_{pp}(-M)$  – valorile reflectivitatii cand magnetizarea este perpendiculara la planul de propagare a luminii p-polarizate incidente.

- $R_{pp}(0)$  reprezinta reflectivitatea in absenta magnetizarii

# MOSPR



$$\frac{\Delta R_{pp}}{R_{pp}} = \frac{R_{pp}(M) - R_{pp}(-M)}{R_{pp}(0)}$$

$R_{pp}(0)$  (SPR) este dependent de indicele de refractie al straturilor componente ale sistemului de analiza.

Prin determinarea efectului magneto-optic (MOSPR) se vizeaza obtinerea unei sensibilitati crescute la variatiile indicelui de refractie.

# Metoda Matricii de transfer



Metoda matricii de transfer permite calculul reflectivitatii ca functie de unghiul de incidenta  $\theta$  al luminii p-polarizate pe baza considerarii distributiilor de camp, reflexiei si transmisiei in fiecare strat/interfata a sistemului multistratificat si caracterizat de o grosime  $d_i$  si o constanta dielectrica complexa  $\epsilon_i^*$ .

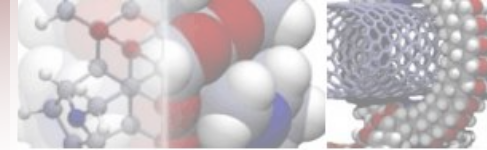
$$\overset{\perp}{P} = \epsilon_0 (\overset{\perp}{\epsilon} - 1) \overset{\perp}{E} \longleftrightarrow \begin{pmatrix} P_x \\ P_y \\ P_z \end{pmatrix} = \epsilon_0 \begin{pmatrix} \epsilon_{xx} - 1 & \epsilon_{xy} & \epsilon_{xz} \\ \epsilon_{yx} & \epsilon_{yy} - 1 & \epsilon_{yz} \\ \epsilon_{zx} & \epsilon_{zy} & \epsilon_{zz} - 1 \end{pmatrix} \begin{pmatrix} E_x \\ E_y \\ 0 \end{pmatrix}$$

Tensorul dielectric pentru un material feromagnetic

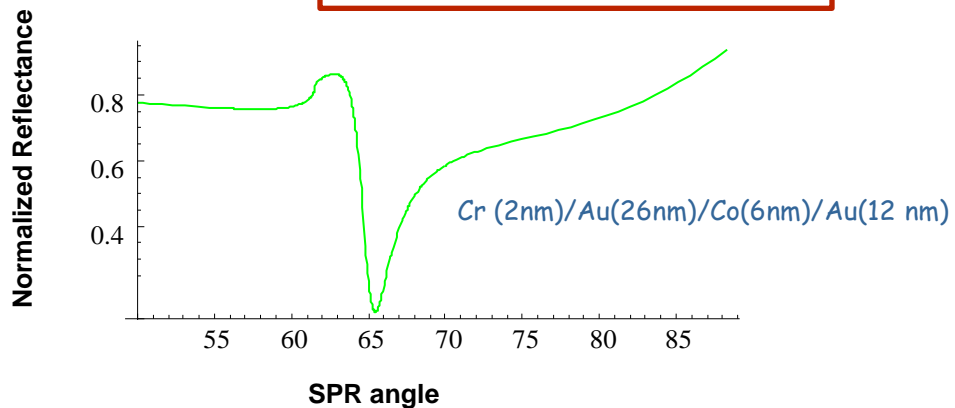
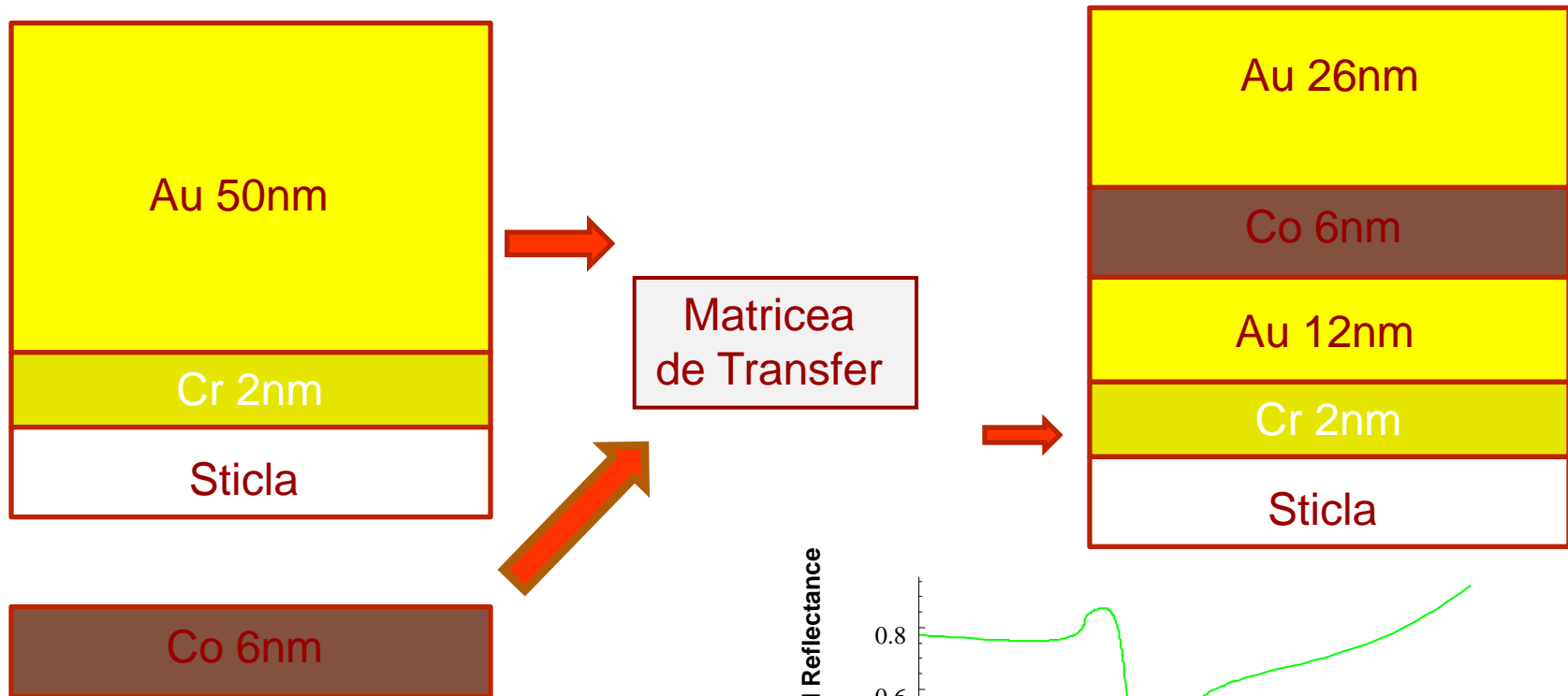
$$\overset{\perp}{\epsilon}_{ij} (\overset{\perp}{B})$$

Q este constanta magneto optica, parametrul Voigt

$$\hat{\epsilon} = \epsilon \begin{pmatrix} 1 & iQm_z & -iQm_y \\ -iQm_z & 1 & iQm_x \\ iQm_y & -iQm_x & 1 \end{pmatrix}$$

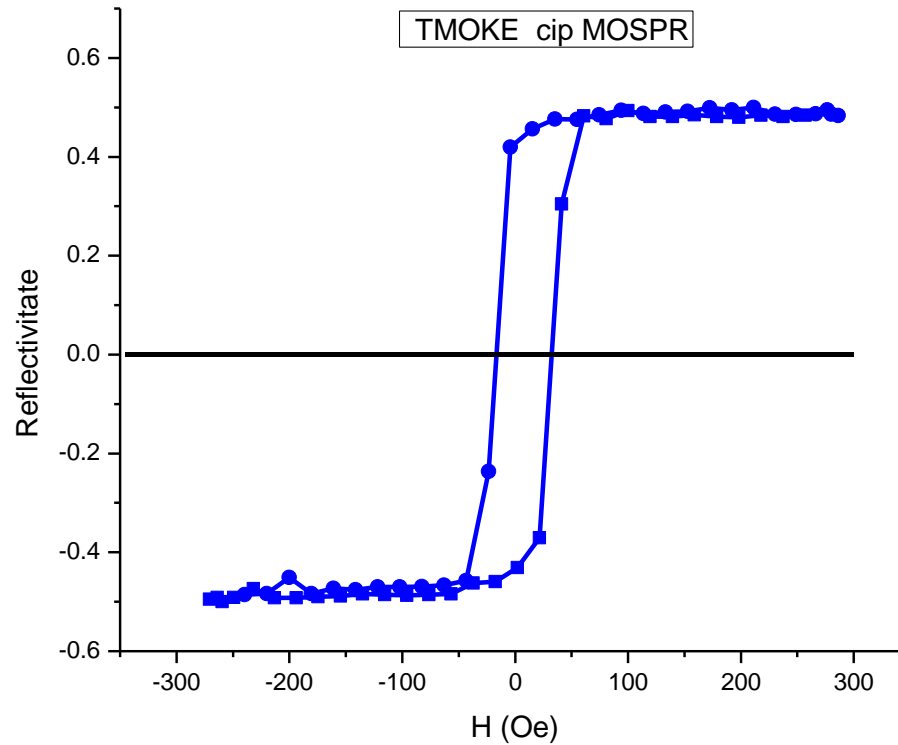
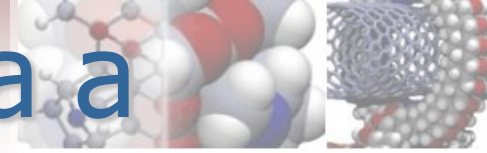


# Cipul MOSPR



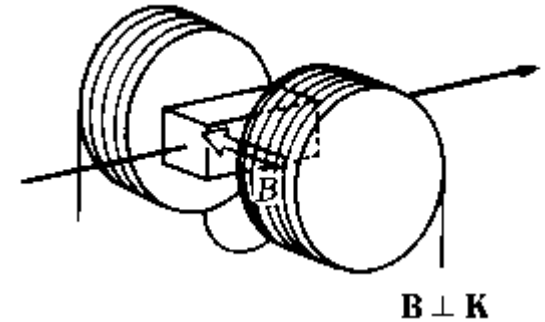
D. Regatos, D. Fariña, A. Calle, A. Cebollada, B. Sepúlveda, G. Armelles, and L. M. Lechuga, *J. Appl. Phys.* 108, 054502 (2010); doi:10.1063/1.3475711

# Comportarea Magnetica a Cipului MOSPR

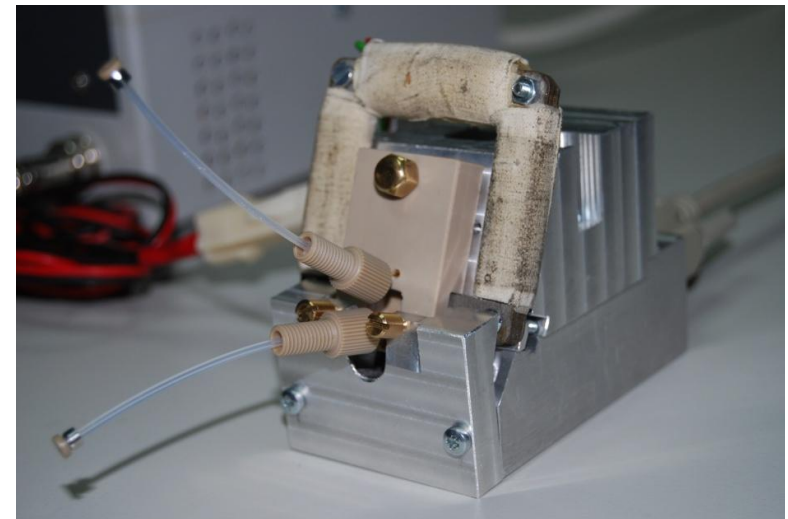
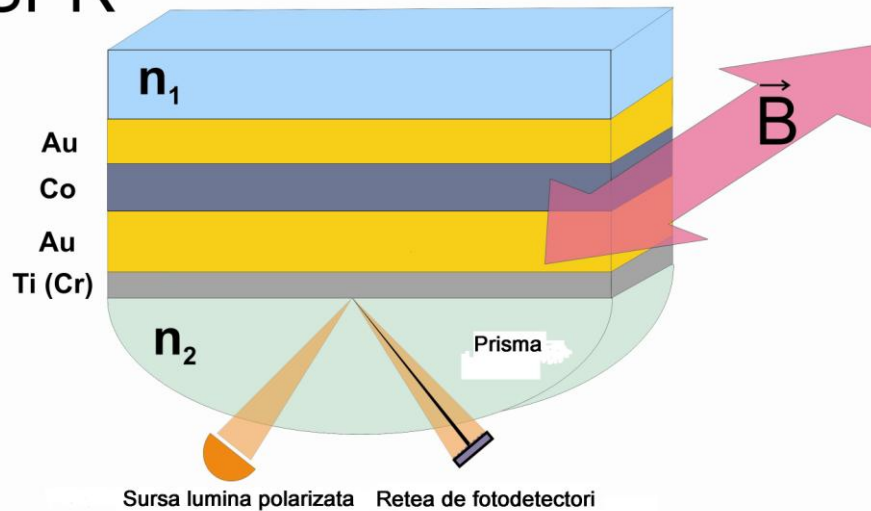


# Dispozitiv MOSPR

- Senzor SPR – compact cu unitate de control
- Cip MOSPR compatibil
- Celula flux
- Electromagnet

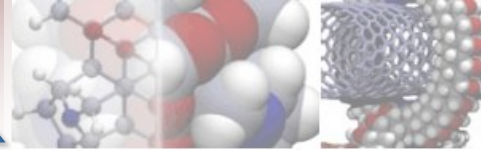


## MO-SPR

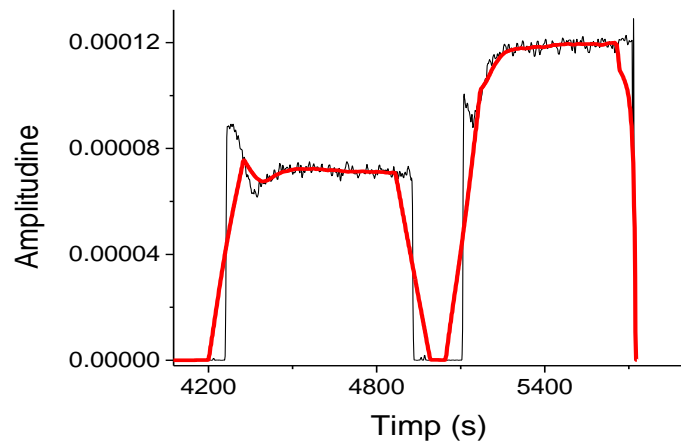
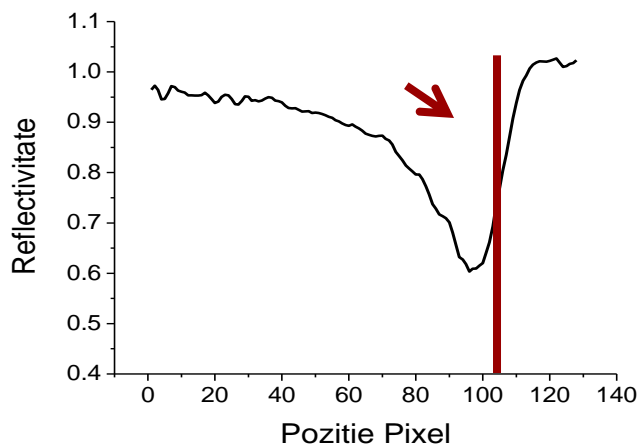




# Analiza semnalului MOSPR



Reflectivitatea pentru Fotodioda #105



$$\Delta R/R = \text{Amplitudinea Sinusoidei} / \text{offset}$$

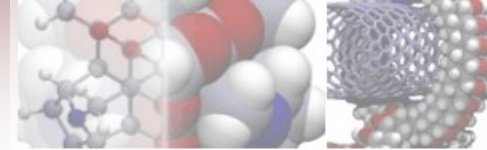


FFT

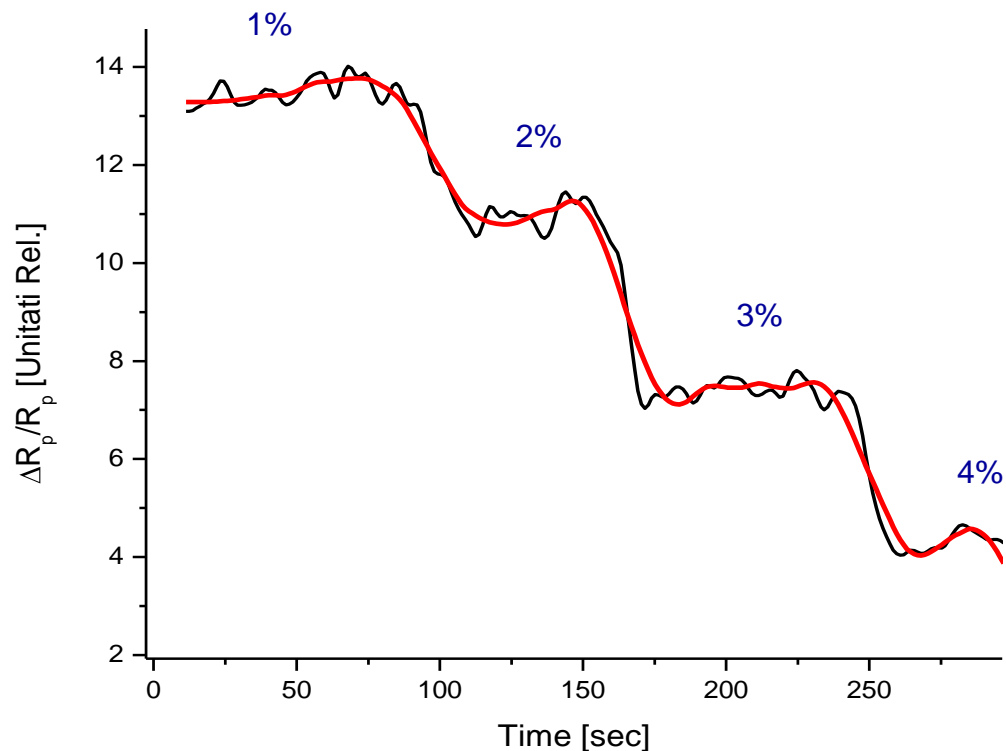
Filtru trece banda  
(digital)

- Semnal reconstruit (sinusoida)
- Offset

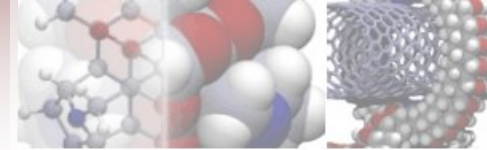




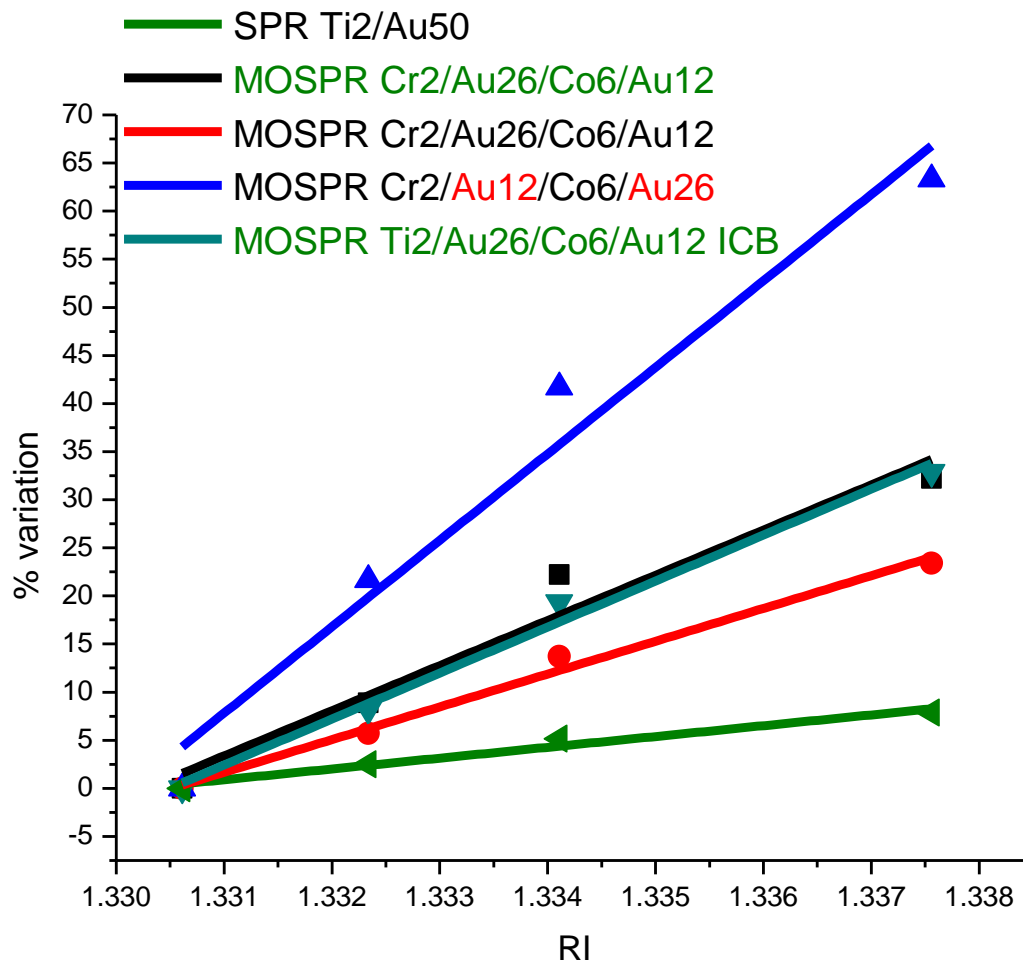
# Rezultate MOSPR

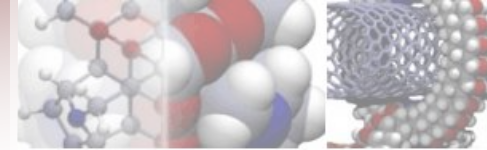


Variatia semnalului in relatie cu modificarea indicelui de refractie al mediului

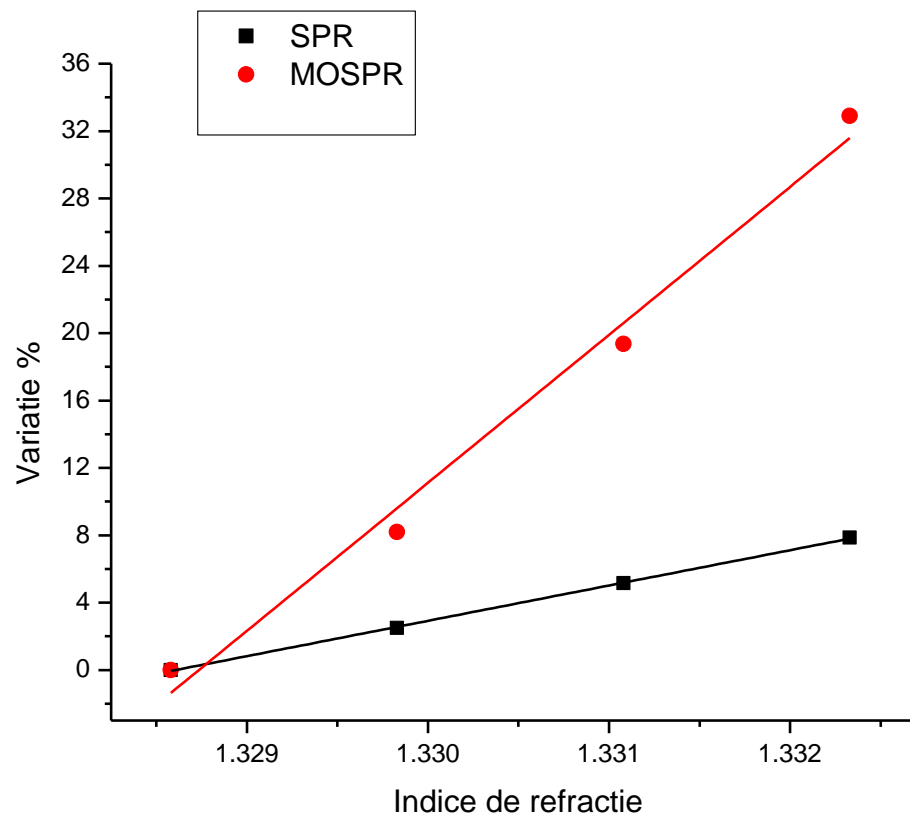


# Rezultate MOSPR



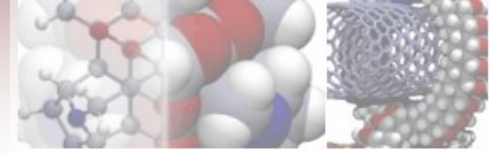


# Rezultate MOSPR



Curbe de calibrare pentru SPR si MOSPR

# Concluzii



- Dezvoltarea de echipamente
- Abordari analitice novatoare
- Granita intre ...tehnologie si viu
  
- Suportul financiar al proiectelor NANOMAGMA FP7-214107-2, RoNanomagma # 25EU/2009 si ELBIOARCH # 12-121/2008

